



## TBA 810 S · TBA 810 AS

### Monolithisch Integrierte Schaltung Monolithic Integrated Circuit

Anwendung: NF-Leistungsverstärker

Application: Audio power amplifier

#### Besondere Merkmale:

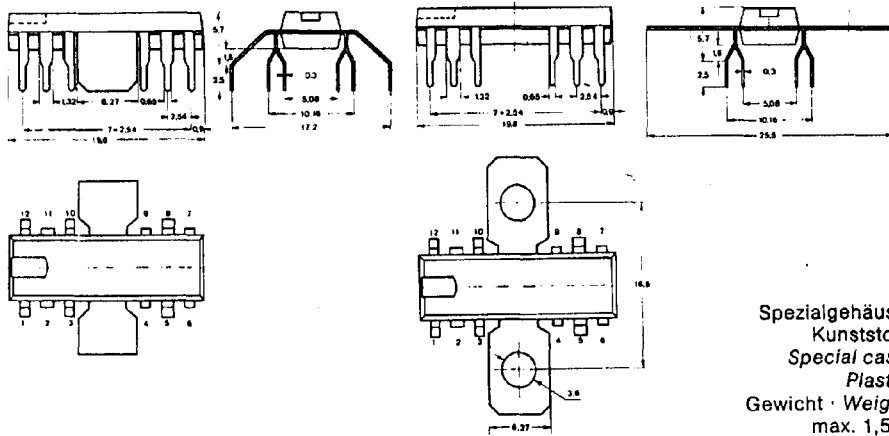
- Thermische Abschaltung
- Hoher Ausgangsstrom bis 2,5 A
- Großer Versorgungsspannungsbereich, 4 bis 20 V
- Hohe Ausgangsleistung, 7 W
- Kleine Übernahmeverzerrungen
- Kleiner Klirrfaktor
- Sehr guter Wirkungsgrad, 70%

#### Features:

- Thermal shut-down
- High output current, up to 2.5 A
- Wide range of supply voltage, 4 to 20 V
- High output power 7 W
- Low harmonic distortion
- Low cross overdistortion
- Very high efficiency 70%

#### Vorläufige technische Daten · Preliminary specifications

Abmessungen in mm  
Dimensions in mm

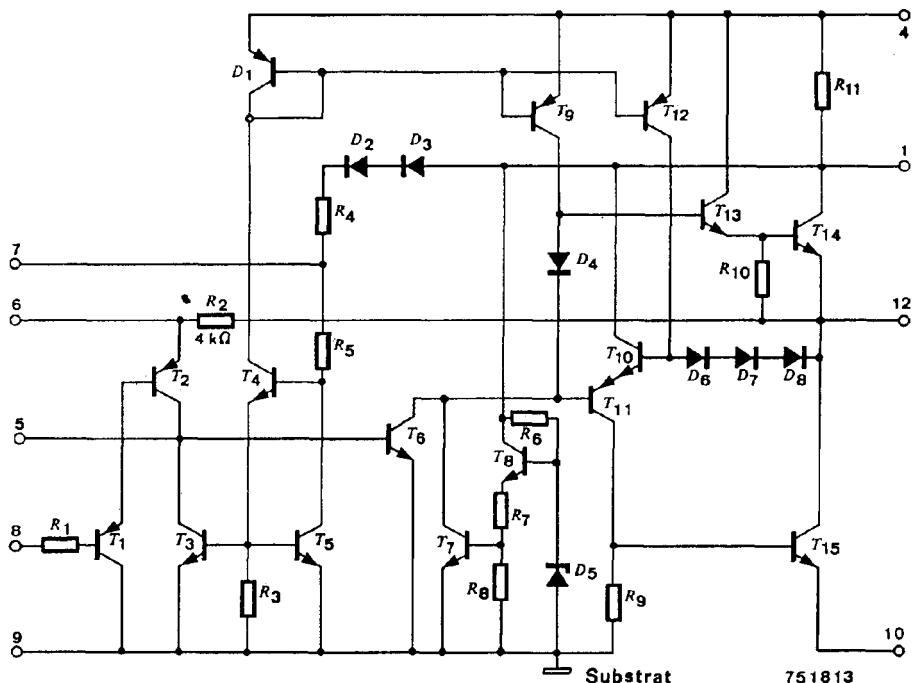


TBA 810 S

TBA 810 AS

Spezialgehäuse  
Kunststoff  
Special case  
Plastic  
Gewicht · Weight  
max. 1,5 g

## TBA 810 S · TBA 810 AS



**Fig. 1 Schaltung und Anschlußbelegung**  
*Diagram and pin connections*

**Absolute Grenzdaten**  
**Absolute maximum ratings**

Bezugspunkt Reference point	Pin 9, Pin 10			
Versorgungsspannung Supply voltage	Pin 1 $U_S$	20		V
Ausgangsstoßstrom Surge output current	Pin 12 $I_{QS}$	3,5		A
Ausgangsspitzenstrom Peak output current (repetitive)	Pin 12 $I_{QM}$	2,5		A
Verlustleistung Power dissipation	Fig. 2, 3, 4, 5, 6			
$t_{amb} = 80^\circ\text{C}$	TBA 810 S $P_{tot}$	1		W
$t_{case} = 100^\circ\text{C}$	TBA 810 AS $P_{tot}$	5		W
Sperrsichttemperatur Junction temperature	$t_j$	+150		°C
Lagerungstemperaturbereich Storage temperature range	$t_{stg}$	-40 ... +150		°C

## TBA 810 S · TBA 810 AS

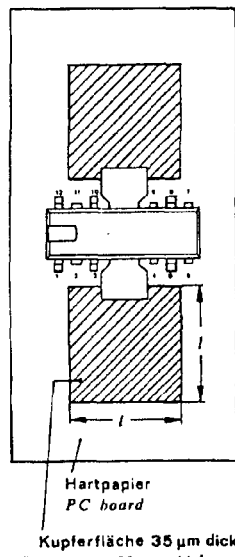
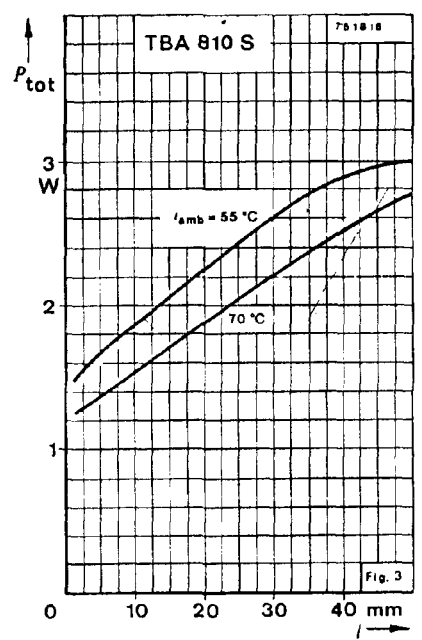
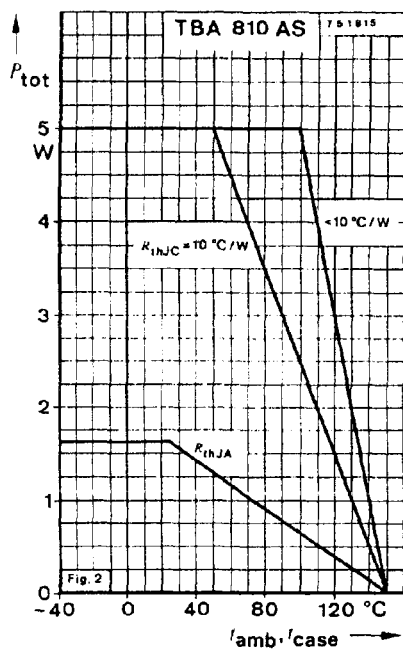


Fig. 4

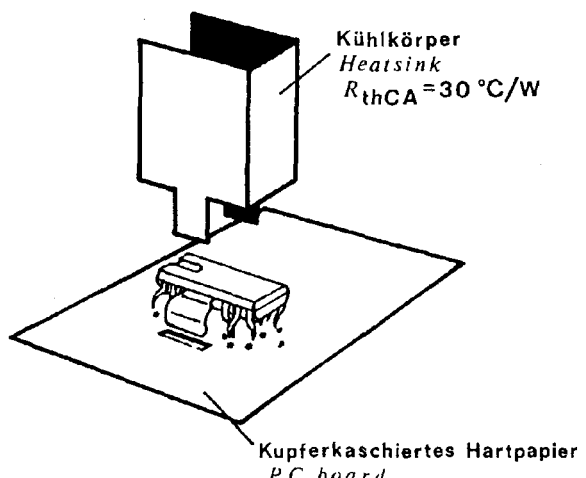


Fig. 5

# TBA 810 S · TBA 810 AS

## Wärmewiderstände Thermal resistances

			Min.	Typ.	Max.
Sperrsicht-Umgebung Junction ambient	TBA 810 S TBA 810 AS	$R_{thJA}$		70	°C/W
		$R_{thJA}$		80	°C/W
Sperrsicht-Gehäuse Fig. 3, 4, 5 Junction case Fig. 2	TBA 810 S TBA 810 AS	$R_{thJC}^1)$		12	°C/W
		$R_{thJC}^1)$		10	°C/W

## Elektrische Kenngrößen Electrical characteristics

$I_{amb} = 25^\circ\text{C}$ ,  $R_f = 56 \Omega$ , Bezugspunkt: Pin 9, Pin 10 falls nicht anders angegeben  
Reference point: Pin 9, Pin 10 unless otherwise specified

Versorgungsspannung Supply voltage	Pin 1	$U_S$	4	20	V
---------------------------------------	-------	-------	---	----	---

Mittenspannung Quiescent output voltage	Fig. 13	Pin 12	$U_{QB}$	6,4	7,2	8	V
--	---------	--------	----------	-----	-----	---	---

Ruhestrom der Gesamtschaltung Quiescent drain current	Fig. 12	Pin 1	$I_{SB}$	12	20	mA
--	---------	-------	----------	----	----	----

Gesamtstromaufnahme Total supply current	Fig. 12	Pin 1	$I_{S\text{ tot}}$	600		mA
---	---------	-------	--------------------	-----	--	----

Thermische Abschalttemperatur Thermal shut-down temperature	Fig. 11		$t_{case}$	120		°C
--	---------	--	------------	-----	--	----

Brummunterdrückung Supply voltage rejection ratio	Fig. 14, 15		$k_{SVR}$	48		dB
--	-------------	--	-----------	----	--	----

Eingangsstrom Input current	Fig. 6, 8, 9, 10, 11	Pin 8	$I_{IB}$	0,4	4	μA
--------------------------------	----------------------	-------	----------	-----	---	----

Ausgangsleistung Output power	Fig. 6, 8, 9, 10, 11		$P_q$	7		W
			$P_q$	6		W
			$P_q$	2,5		W
			$P_q$	1		W

Eingangsspannung Input voltage	Fig. 18	Pin 8	$U_i$	220		mV
-----------------------------------	---------	-------	-------	-----	--	----

Eingangsspannung Input voltage	Fig. 18	Pin 8	$U_i$	80		mV
			$U_i$	35		mV

<sup>1)</sup> mit Kühlfläche  $R_{thCA} = 10^\circ\text{C/W}$   
with cooling plate

# TBA 810 S · TBA 810 AS

			Min.	Typ.	Max.	
Eingangswiderstand <i>Input resistance</i>	Pin 8	$R_i$		5		MΩ
Bandbreite (-3 dB) <i>Band width</i>	Fig. 16					
$U_S = 14,4 \text{ V}$ , $R_L = 4 \Omega$ , $C_3 = 820 \text{ pF}$ $C_3 = 1500 \text{ pF}$	B		40 ... 20000			Hz
Klirrfaktor <i>Distortion</i>	Fig. 6, 19, 20					
$U_S = 14,4 \text{ V}$ , $R_L = 4 \Omega$ , $f = 1 \text{ kHz}$ , $P_Q = 50 \text{ mW bis/to } 3 \text{ W}$	k		0,3			%
Spannungsverstärkungen <i>Voltage amplifications</i>						
$U_S = 14,4 \text{ V}$ , $R_L = 4 \Omega$ , $f = 1 \text{ kHz}$						
Leerlauf <i>Open loop</i>		$A_{ug}$	80			dB
mit Gegenkopplung <i>closed loop</i>	Fig. 17	$A_{uf}$	34	37	40	dB
Eingangsrauschspannung <i>Input noise voltage</i>						
$U_S = 14,4 \text{ V}$ , $B = 20 \dots 20000 \text{ Hz}$	Pin 8	$U_{ni}$	2			µV
Eingangsrauscharstrom <i>Input noise current</i>						
$U_S = 14,4 \text{ V}$ , $B = 20 \dots 20000 \text{ Hz}$	Pin 8	$I_{ni}$	0,1			nA
Wirkungsgrad <i>Efficiency</i>	Fig. 6, 9	$\eta$	70			%
$P_Q = 5 \text{ W}$ , $U_S = 14,4 \text{ V}$ , $R_L = 4 \Omega$ , $f = 1 \text{ kHz}$						

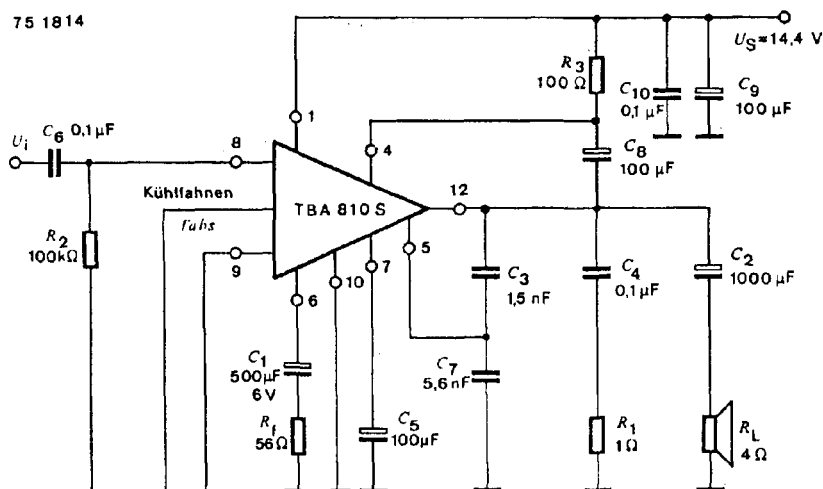
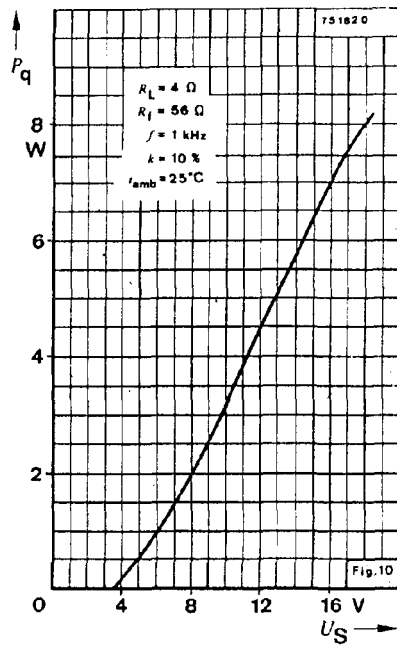
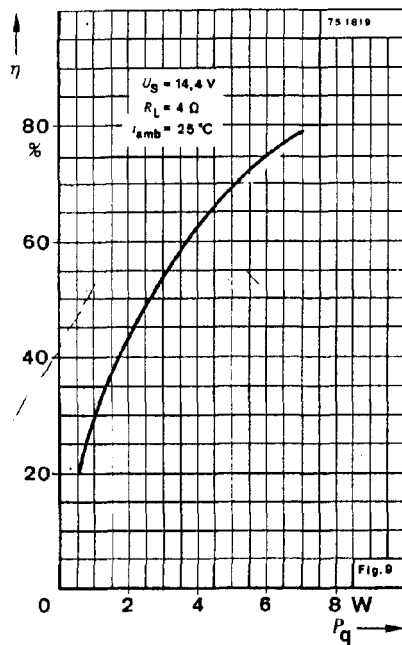
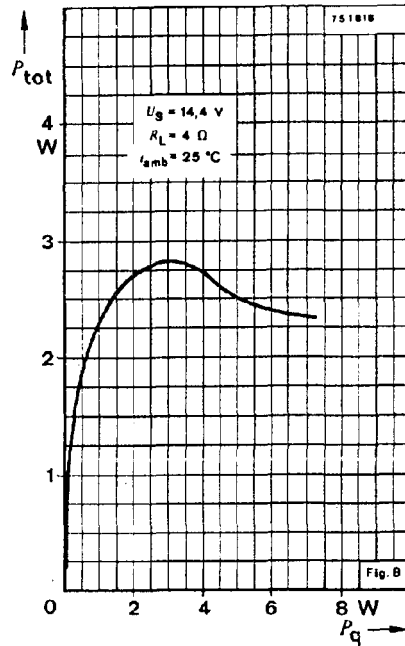
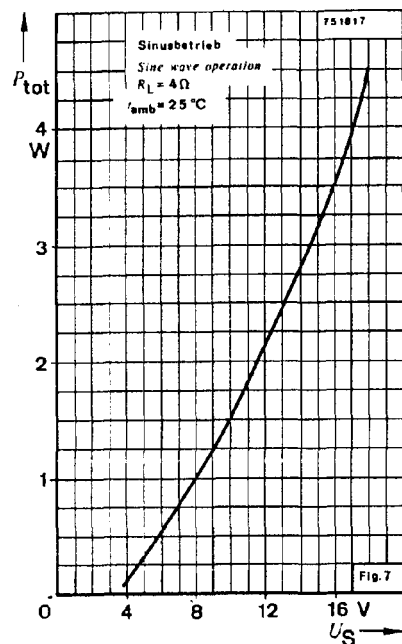
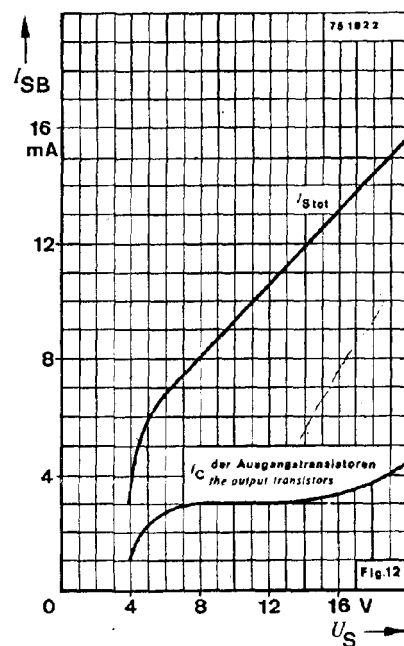
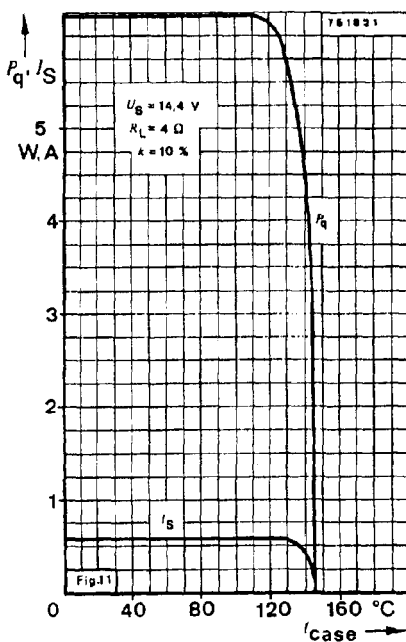


Fig. 6 Meßschaltung für:  $P_Q$ ,  $P_{tot}$ ,  $k$ ,  $\eta$  und Anwendungsbeispiel  
Test circuit for:  $P_Q$ ,  $P_{tot}$ ,  $k$ ,  $\eta$  and application note

## TBA 810 S · TBA 810 AS



# TBA 810 S · TBA 810 AS



## Thermisches Abschalten:

Die eingebaute thermische Begrenzungsschaltung ergibt folgende Vorteile:

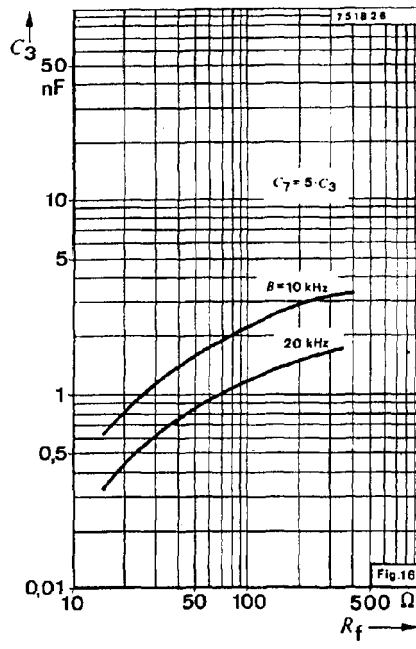
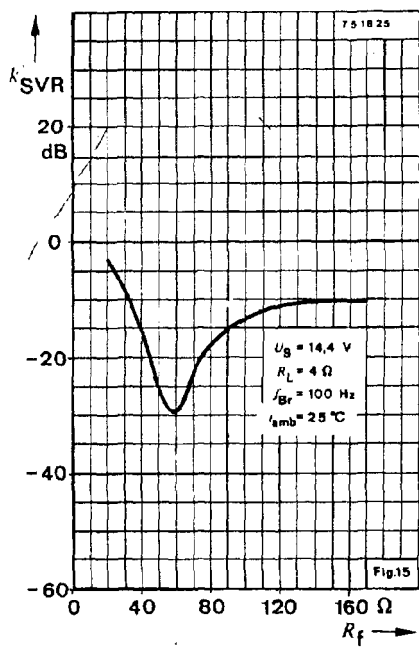
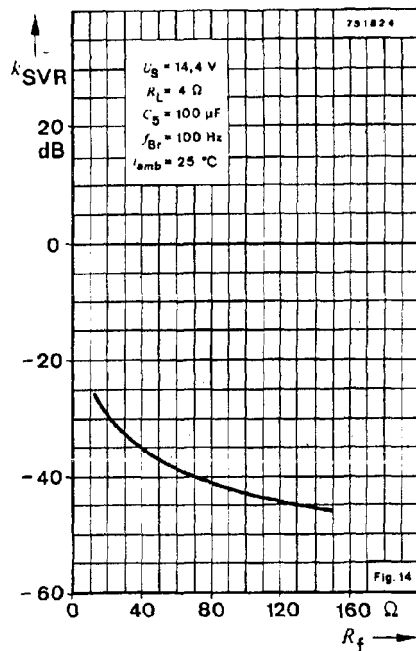
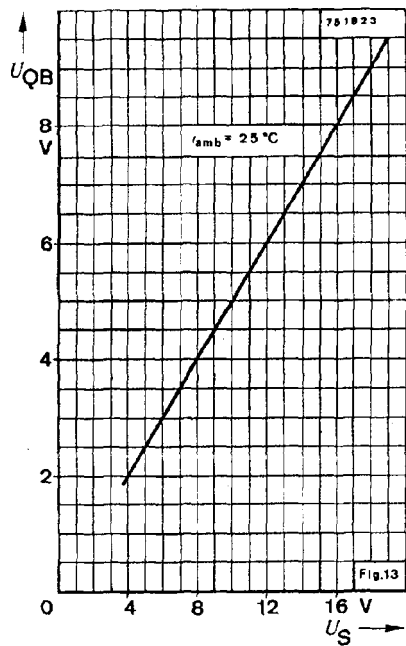
1. Eine dauernde Überlastung des Ausganges oder eine Erhöhung der zulässigen oberen Umgebungstemperatur kann einfach verhindert werden.
2. Die Kühlung kann gegenüber konventionellen Schaltungen mit einem kleineren Sicherheitsfaktor ausgelegt werden. Bei einer thermischen Überlastung wird der Schaltkreis nicht infolge einer zu hohen Sperrschichttemperatur zerstört, denn es wird ausschließlich  $P_Q$  (und somit  $P_{tot}$ ) und  $I_S$  reduziert (siehe Fig. 11).

## Thermal shut-down

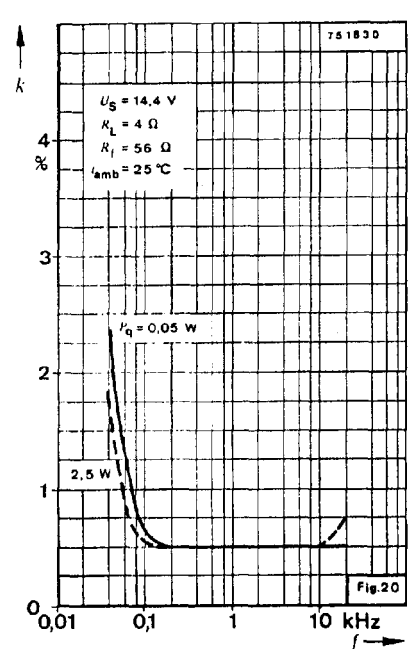
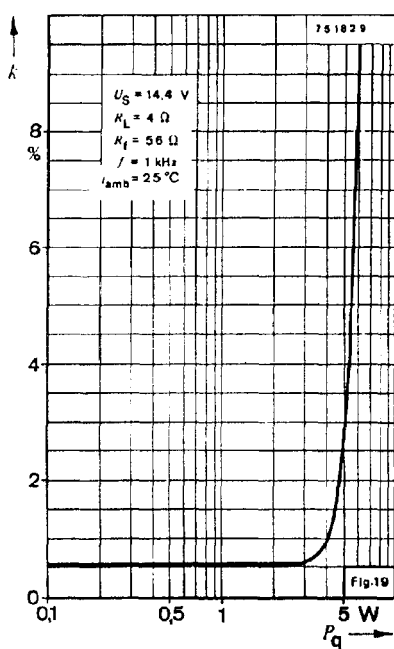
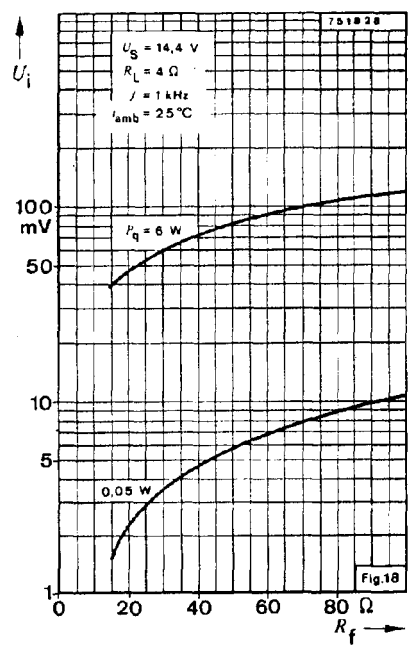
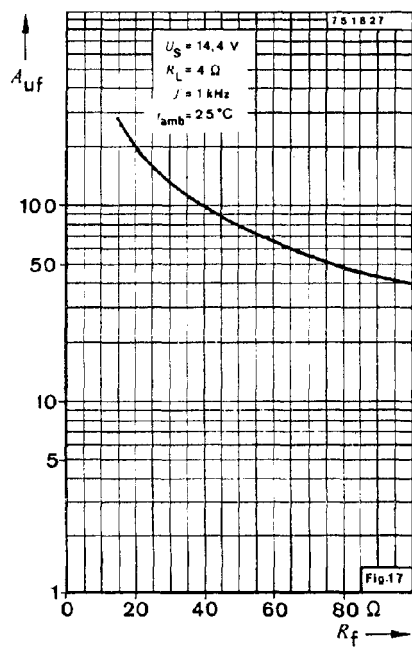
The presence of a thermal limiting circuit offers the following advantages:

1. An overload on the output (even if it is permanent), or an above-limit ambient temperature can be easily supported.
2. The heat sink can have a smaller factor of safety compared with that of a conventional circuit. There is no device damage in the case of too high a junction temperature: all that happens is that  $P_Q$  (and therefore  $P_{tot}$ ) and  $I_S$  are reduced (fig. 11).

## TBA 810 S · TBA 810 AS

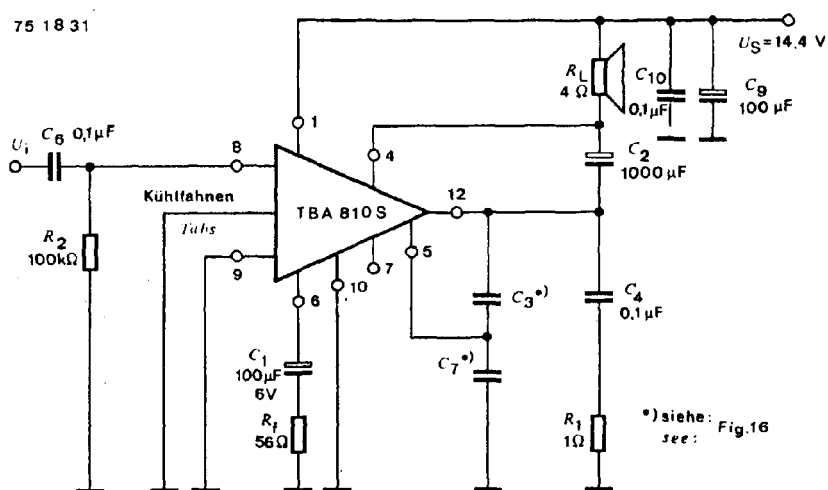


## TBA 810 S · TBA 810 AS



## TBA 810 S · TBA 810 AS

---



**Fig. 21** Schaltungsbeispiel mit hochliegendem  $R_L$   
*Circuit example with load connected to supply voltage*